

## СТРУКТУРНО-ИНФОРМАЦИОННЫЕ ПОРТРЕТЫ ИНФОРМАЦИОННОЙ СИСТЕМЫ В УСЛОВИЯХ НЕОПРЕДЕЛЕННОСТИ НА ПРИМЕРЕ DOS-АТАКИ

### Постановка проблемы

В настоящее время в Украине практически нет отраслей, где бы ни использовались информационные системы, выполняющие телекоммуникационные, информационные и расчетные функции (обработка и обмен данными, хранение информационных ресурсов, формирование сигналов управления критическими системами, построение графиков, отчетов и др.). При этом их управление осуществляется по отдельным, заранее известным алгоритмам. Однако проведенные исследования показали наличие в большинстве информационных систем различного рода структурных и функциональных априорных неопределенностей, что предполагает использование средств моделирования нечетких данных и знаний, нечеткого логического выделения, методов теории адаптивных систем [1 – 4, 7].

Анализ литературы [2 – 5, 7, 8] показал, что существующие подходы к идентификации и моделированию информационных систем оперируют априорными данными или результатами компьютерного моделирования. Однако в условиях априорной неопределенности до настоящего времени каких-либо методов или формализованных процедур выбора структуры модели не предложено.

В работе [7] был предложен подход к построению модели информационной системы на основе структурно-информационных портретов и предложен комплексный показатель эффективности функционирования системы. Однако вопросам оценки влияния внешних факторов воздействия на состояние информационной системы и изменение характеристик структурно-информационных портретов в данной работе внимания не было уделено.

Поэтому актуальной научной задачей представляется построение и исследование наблюдаемых структурно-информационных портретов информационных систем с оценкой и выбором информативных переменных в условиях воздействия различного рода внешних факторов (в том числе и негативных).

### Моделирование информационных систем в условиях априорной неопределенности

В [2] представлена динамическая модель информационной системы на основе наблюдаемого структурно-информационного портрета, учитывающая апостериорные данные о ее структурных изменениях в условиях внешних воздействий. Причинно-следственные связи в структурно-функциональном пространстве  $R$  исследуемого объекта на множестве апостериорных данных  $I_{an} = \{Y(t), U(t), \chi(t), \xi(t), t \in R^t\}$  описываются с помощью выражений

$$S(t) = F_1(S, A_1, U, \chi, \xi, t, \tau), \quad (1)$$

$$Y(t) = F(S, A, U, \chi, \xi, t), \quad (2)$$

а множество динамических процессов в объектах управления задается с помощью дифференциального уравнения с одним входом и выходом [2]

$$a_0 y^{(m)} + a_1 y^{(m-1)} + \dots + a_m y = b_0 u^{(k)} + b_1 u^{(k-1)} + \dots + b_k u + \xi + \chi, \quad (3)$$

где  $S(t) \in R^S$  – вектор внутреннего состояния объекта управления,  $\tau \in \mathfrak{T}$  – некоторый интервал времени (временная задержка),  $F_1, F$  – внутренние нелинейные операторы, структура которых известна с точностью до векторов искомых параметров  $A_1(t), A(t)$ , принадлежащих ограниченной, но априори неизвестной области  $G_A \subseteq R^V$ .  $Y(t)$  – вектор выходных параметров системы.

Исследования [1 – 4, 7] показали, что для линейного стационарного объекта управления уравнение в пространстве состояний имеет вид [2, 7]:

$$\dot{\bar{X}} = A\bar{X} + BU + \xi + \chi, \quad (4)$$

$$Y = C\bar{X} + DU + \zeta, \quad (5)$$

где  $X \in R^m$  – вектор состояния,  $A \in R^{m \times m}$  – матрица состояния,  $U \in R^k$  – вектор входа,  $Y \in R^n$  – вектор выхода,  $B \in R^{m \times k}$ ,  $C \in R^{n \times m}$ ,  $D \in R^{n \times k}$ ,  $\zeta \in R^n$  – ненаблюдаемый вектор ошибок измерения,  $\xi \in R^m$ ,  $\chi \in R^m$  – вектора помех ( $\xi$  – контролируемые возмущения,  $\chi$  – неконтролируемые шумы).

В [3] показано, что реализация моделей в пространстве состояний связана с необходимостью оценки ненаблюдаемых компонентов вектора  $X(t)$  на множестве  $I_{an}$ . Однако, как показали исследования, в условиях априорной неопределенности данная задача не всегда выполняется с заданной точностью. В то же время решение о структуре модели исследуемой системы должно приниматься исходя из принципа информационной полноты анализируемых (используемых при моделировании) данных (множества  $I = \{I_a, I_{an}\}$ , где  $I_a, I_{an}$  – соответственно априорная и апостериорная информация об объекте исследования). Особенно это важно в условиях априорной неопределенности, характерной для функционирования информационных систем.

Используем приведенные выше предложения при моделировании информационной системы. Для этого рассмотрим систему уравнений [3]:

$$\dot{X} = F(X, U, A, t), \quad (6)$$

$$Y = F_Y(X, U, A_1, t),$$

где  $U \in \Omega_U \subset \hat{U} \subseteq R^m$  – входной вектор системы,  $Y \in \hat{Y} \subset R^n$  – выход системы,  $X \in \hat{X} \subseteq R^q$  – вектор состояния,  $\hat{U}, \hat{Y}, \hat{X}$  – множества входных и выходных сигналов, а также состояний системы соответственно,  $\hat{Y} \subseteq \hat{X} \subseteq R^n$ ,  $A \in R^{q \times p}$ ,  $A_1 \in R^{n \times q}$  – матрицы параметров,  $F : R^q \times R^m \times J \rightarrow R^q$  – гладкая непрерывно дифференцируемая по  $\hat{X}$  и по  $A$  вектор-функция,  $t \in J$ ,  $F_Y : R^q \times R^m \times J \rightarrow R^n$  – функция, задающая способ формирования выходного вектора системы.

В состав множества  $I_{an}$  входят не сами векторы  $U$  и  $Y$ , а их наблюдаемые и вычисляемые аналоги (векторы  $\tilde{U}(t), \tilde{Y}(t), \tilde{K}(t)$ ), которые получаются в результате мониторинга информационной системы и применения операторов  $f_U, f_Y, f_K$  в пространствах  $\mathfrak{N}, \mathfrak{R}, \mathfrak{Z}$  входных и выходных векторов соответственно, а так же временном пространстве  $J$ :

$$f_U : \mathfrak{N} \times J \rightarrow R^m, f_Y : \mathfrak{R} \times J \rightarrow R^n, f_K : \mathfrak{Z} \times J \rightarrow R^k. \quad (7)$$

Следует заметить, что указанные в (6) операторы отражают также ошибки измерения.

Операторы  $f_U \in N_U, f_Y \in N_Y$  определены на множествах  $N_U, N_Y$ , характеризующих неопределенность процесса измерения. В зависимости от доступности процесса наблюдения множества  $N_U$  и  $N_Y$  могут иметь как нечеткую природу, так и статистическую [2, 3].

Как показали исследования [2, 3, 7], при идентификации динамических систем целесообразно использовать множество  $I_{an}$ . Используя операторы (7), получим множество наблюдений (наблюдаемое структурно-информационное множество)

$$I_{an} = I(\tilde{U}, \tilde{Y}) = \left\{ \tilde{U} \in R^m, \tilde{Y} \in R^n \mid \tilde{U}(t) = f_U(U, t), \tilde{Y}(t) = f_Y(Y, t) \forall (t \in J) \right\}, \quad (8)$$

Представим множество (8) в виде:  $I_{an} = I(\tilde{U}, \tilde{Y}) = I(\tilde{U}) \cup I(\tilde{Y}) \quad \forall t \in J$ .

Определим бинарное отношение  $Z$  между множествами  $\tilde{U}$  и  $\tilde{Y}$  системы (6):  $Z \subset \tilde{U} \times \tilde{Y}$ . Назовем это множество портретом системы (6) в пространстве  $\aleph \times \aleph$ . Соответствующий фазовый портрет системы (6) представим в виде

$$Z_\phi \subset \tilde{X} \setminus \tilde{U} \times \tilde{Y} \quad \forall U(\cdot) \in \Omega_U. \quad (9)$$

Расширенным фазовым портретом системы будем называть отображение  $Z_\phi \subset \tilde{X} \times \tilde{U} \quad (\forall U(\cdot) \in \Omega_U) \& (\forall t \in J)$ .

Для любого наблюдаемого структурно-информационного множества  $I(\tilde{U}, \tilde{Y})$  (8) системы (6) определенного в пространстве  $\aleph \times \aleph$ , наблюдаемые структурно-информационными портретами, называются бинарные отношения:

$$Z_i = Z_i(I_{an}) \subset I(\tilde{U}) \times I(\tilde{Y}), \quad (10)$$

$$Z_i = Z_i(I_{an}) \subset I(\tilde{U} / \tilde{Y}) \times I(\tilde{Y}). \quad (11)$$

Из (10) следует, что  $Z \subseteq Z_i$  и  $dom(Z_\phi) = rng(Z)$ , т. е. между ними существует структурное соответствие.

### Исследование информационной системы в условиях воздействия DOS-атаки

Проведем сравнительное исследование расширенного фазового и наблюдаемых структурно-информационных портретов подсистемы информационного обеспечения [7] информационной системы на примере входного трафика данных в условиях воздействия на нее Dos-атаки.

На рис. 1. представлен расширенный фазовый портрет подсистемы информационного обеспечения в условиях воздействия на подсистему информационного обеспечения Dos-атаки, при этом в качестве показателя системы выступает характеристика интенсивности входного (рис. 1, а) и выходного (рис. 1, б) трафика данных. Для наглядности графика количество отсчетов показателя интенсивности входного и выходного трафика ограничено числом 150.

Сравнивая рис. 1, а и 1, б, следует отметить изменения, характерные для исследуемого вида внешнего воздействия на информационную систему (Dos-атаку). Прежде всего, это появление второго «уровня» показателя интенсивности трафика данных (см. рис. 1), связанного с увеличением интенсивности входного потока данных. На практике именно это увеличение чаще всего приводит к деструктивным изменениям в исследуемой системе.

Использование расширенного фазового портрета в определенной степени дает картину структурных изменений в системе при воздействии внешних факторов, однако информации о внутренних свойствах системы с помощью фазовых портретов получить чаще всего невозможно. Поэтому при моделировании информационной системы целесообразно использовать и структурно-информационные портреты системы.

На рис. 2. представлены наблюдаемые структурно-информационные портреты подсистемы информационного обеспечения в условиях воздействия на нее Dos-атаки, при этом в качестве измеряемых векторов наблюдаемого структурно-информационного множества  $I(\tilde{U}, \tilde{Y})$  выступают интенсивность входного ( $\tilde{U}$ ) и выходного ( $\tilde{Y}$ ) трафика данных (рис.2, а),

коэффициент структурности  $K(t) = \frac{\tilde{Y}(t)}{\tilde{U}(t)}$  (рис. 2, б), и коэффициент пачечности

$K_n(t) = \frac{\tilde{V}_{\max}(t)}{\tilde{V}_{cp}(t)}$  (рис 2, в), где  $\tilde{V}_{\max}$  – максимальная скорость передаваемых данных,  $\tilde{V}_{cp}$  –

средняя скорость передаваемых данных.

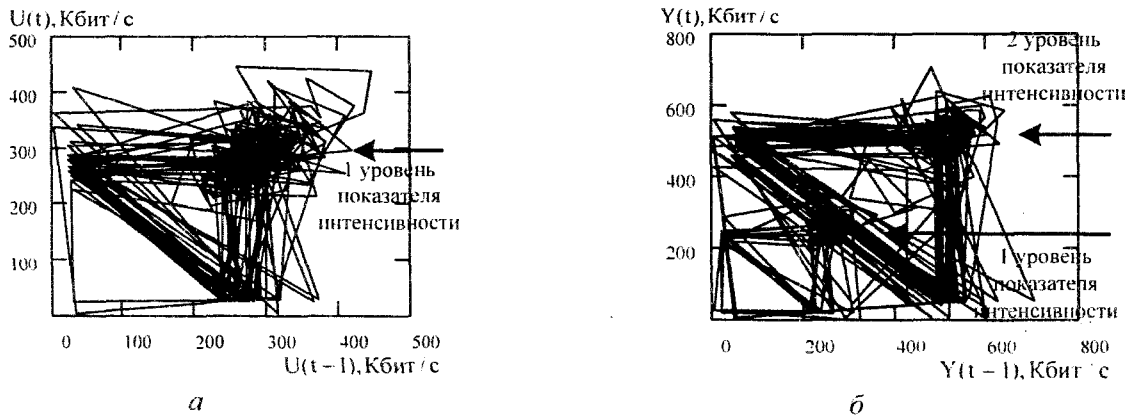


Рис. 1

Анализ графиков на рис. 1 и 2 позволяет сделать вывод о разнородности траекторий наблюдаемых структурно-информационных портретов и траекторий на фазовой плоскости подсистемы информационного обеспечения. Это подтверждает гипотезу о том, что множества  $Z_\phi$  и  $Z_i$  имеют различные структуры. Данная закономерность объясняется, прежде всего внутренними свойствами подсистемы информационного обеспечения и структурной сложностью информационного трафика.

Рассмотренные на рис. 2 примеры построения наблюдаемых структурно-информационных портретов иллюстрируют структуру системы в пространствах  $\mathbb{N} \times \mathbb{R}$  (рис. 2, а),  $\mathbb{Z} \times \mathbb{R}$  (рис. 2, б, в) и могут быть использованы при решении задачи структурной идентификации.

Однако, как показали исследования, на основе качественной (визуальной) информации состоянии исследуемых объектов можно сделать вывод только о стационарности (или нестационарности) системы. При этом остается нерешенным вопрос выбора информативных переменных наиболее полно описывающих состояние системы. Поэтому следующей важной научной задачей представляется задача исследования наблюдаемых структурно-информационных портретов на предмет выбора кортежа информативных векторов, наиболее полно описывающих структурные особенности системы.

Проведенные исследования [8] показали, что в теории идентификации для решения данной задачи чаще всего используются методы корреляционного анализа [2, 3, 6, 8], при этом в качестве показателя отбора применяется коэффициент взаимной корреляции.

Пусть исследуемый объект, описывается уравнением:

$$y(t) = f(t, U), \quad \{y(t) = f(t, K), y(t) = f(t, Kn)\}, \quad (12)$$

где  $f(\cdot)$  – функция заданного класса.

Рассмотрим проекцию наблюдаемых структурно-информационных портретов  $Z_i$  на плоскости  $\{y, u_i\}$ ,  $\{y, k_i\}$ ,  $\{y, kn_i\}$ , где  $u_i \in \mathbb{N}$ ,  $k_i \in \mathbb{Z}$ ,  $kn_i \in \mathbb{Z}$  – точки входных данных мониторинга в пространствах  $\mathbb{N}$ ,  $\mathbb{R}$ ,  $\mathbb{Z}$  (см рис. 3, а, б, в соответственно). Получим сужение отображений  $Z_i: Z_i^{u_i} \subset Z_i|_{u_i \in U}$ ,  $Z_i: Z_i^{k_i} \subset Z_i|_{k_i \in K}$ ,  $Z_i: Z_i^{kn_i} \subset Z_i|_{kn_i \in U}$  и траектории движения системы, заданные графиками  $\varphi_{u_i}: I(y) \rightarrow I(u_i \in U)$ ,  $\varphi_{k_i}: I(y) \rightarrow I(k_i \in K)$ ,  $\varphi_{kn_i}: I(y) \rightarrow I(kn_i \in Kn)$ .

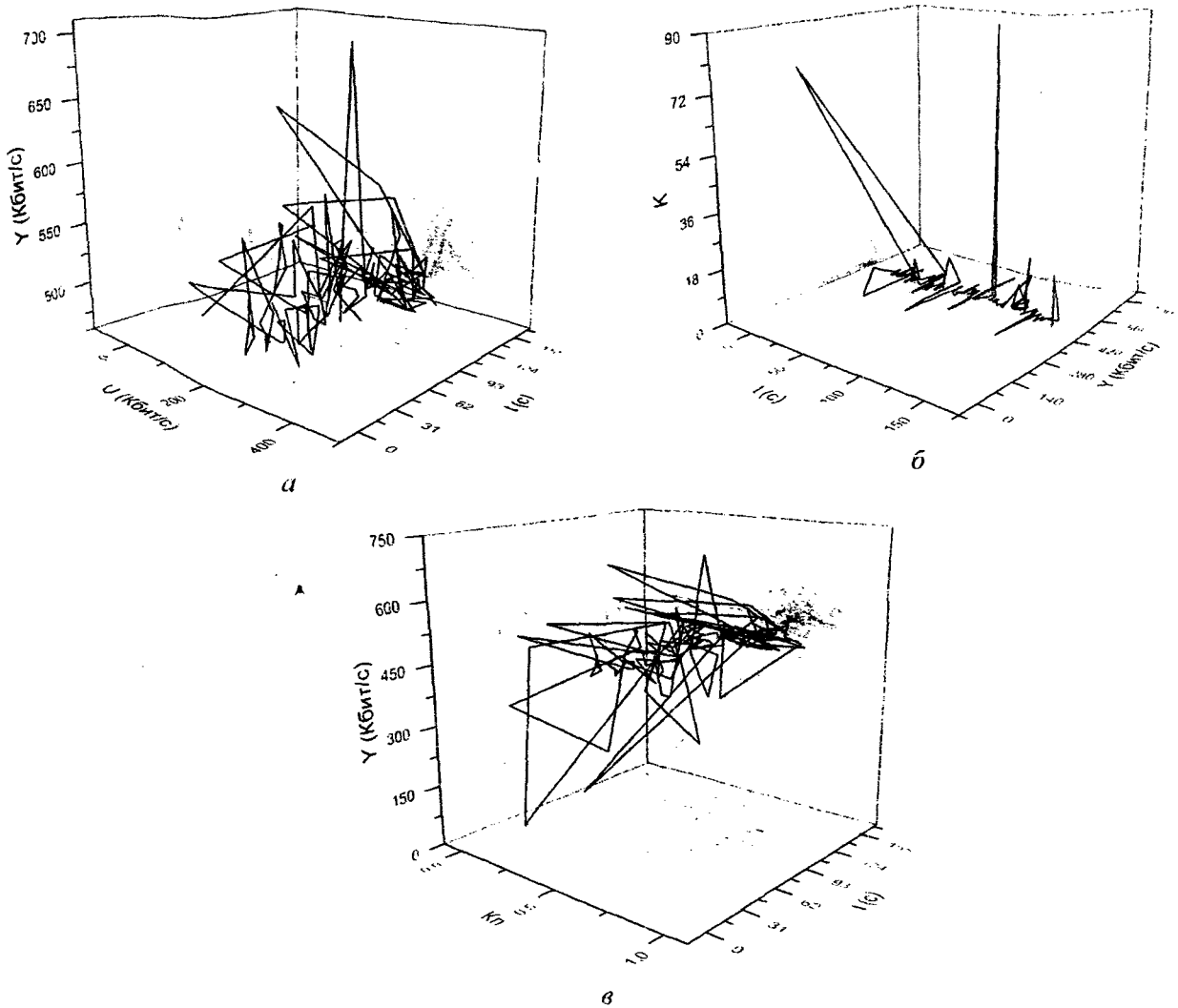


Рис. 2

Рассмотрим зависимости  $u_i = u_i(y)$ ,  $k_i = k_i(y)$  и  $kn_i = kn_i(y)$ , где  $u_i(y)$ ,  $k_i(y)$ ,  $kn_i(y)$  – проекция точек  $u_i$ ,  $k_i$ ,  $kn_i$  на плоскости  $\{y, u_i\}$ ,  $\{y, k_i\}$ ,  $\{y, kn_i\}$  соответственно и аппроксимируем их линейными моделями  $\overline{\varphi}_{u_i}$ ,  $\overline{\varphi}_{k_i}$ ,  $\overline{\varphi}_{kn_i}$  (на основе полученных данных добавим линии тренда), то есть получим оценку изменений переменных  $u_i(y)$ ,  $k_i(y)$ ,  $kn_i(y)$  в среднем:

$$\overline{\varphi}_{u_i} : u_i = u_i(y) = a_{0,i} + a_{1,i}y, \quad (13)$$

$$\overline{\varphi}_{k_i} : k_i = k_i(y) = b_{0,i} + b_{1,i}y, \quad (14)$$

$$\overline{\varphi}_{kn_i} : kn_i = kn_i(y) = c_{0,i} + c_{1,i}y, \quad (15)$$

где  $a_{0,i}$ ,  $a_{1,i}$ ,  $b_{0,i}$ ,  $b_{1,i}$ ,  $c_{0,i}$ ,  $c_{1,i}$  – некоторые числа.

Найдем среднеквадратическое отклонение для переменных  $u_i$ ,  $k_i$ ,  $kn_i$ :

$$\sigma_{u_i, \{k_i, kn_i\}} = \sqrt{\frac{1}{n} \sum_{j=1}^n \left[ u_i(t_j) \{k_i(t_j), kn_i(t_j)\} - M\{u_i, k_i, kn_i\} \right]^2}. \quad (16)$$

$$\sigma_{u_i(y)} \{ \sigma_{k_i(y)}, \sigma_{kn_i(y)} \} = \sqrt{\frac{1}{n} \sum_{j=1}^n \left[ u_i(t_j) \{ k_i(t_j), kn_i(t_j) \} - u_i(y_j) \{ k_i(y_j), kn_i(y_j) \} \right]^2} \quad (17)$$

где  $t_j \in J$  – дискретный момент получения данных эксперимента ( $j = \overline{1, n}$ );  $M\{u_i, k_i, kn_i\}$  – математическое ожидание случайных величин  $u_i, k_i, kn_i$ ;  $u_i(y_j)$  – оценка математического ожидания, полученная с помощью модели (13) – (15).

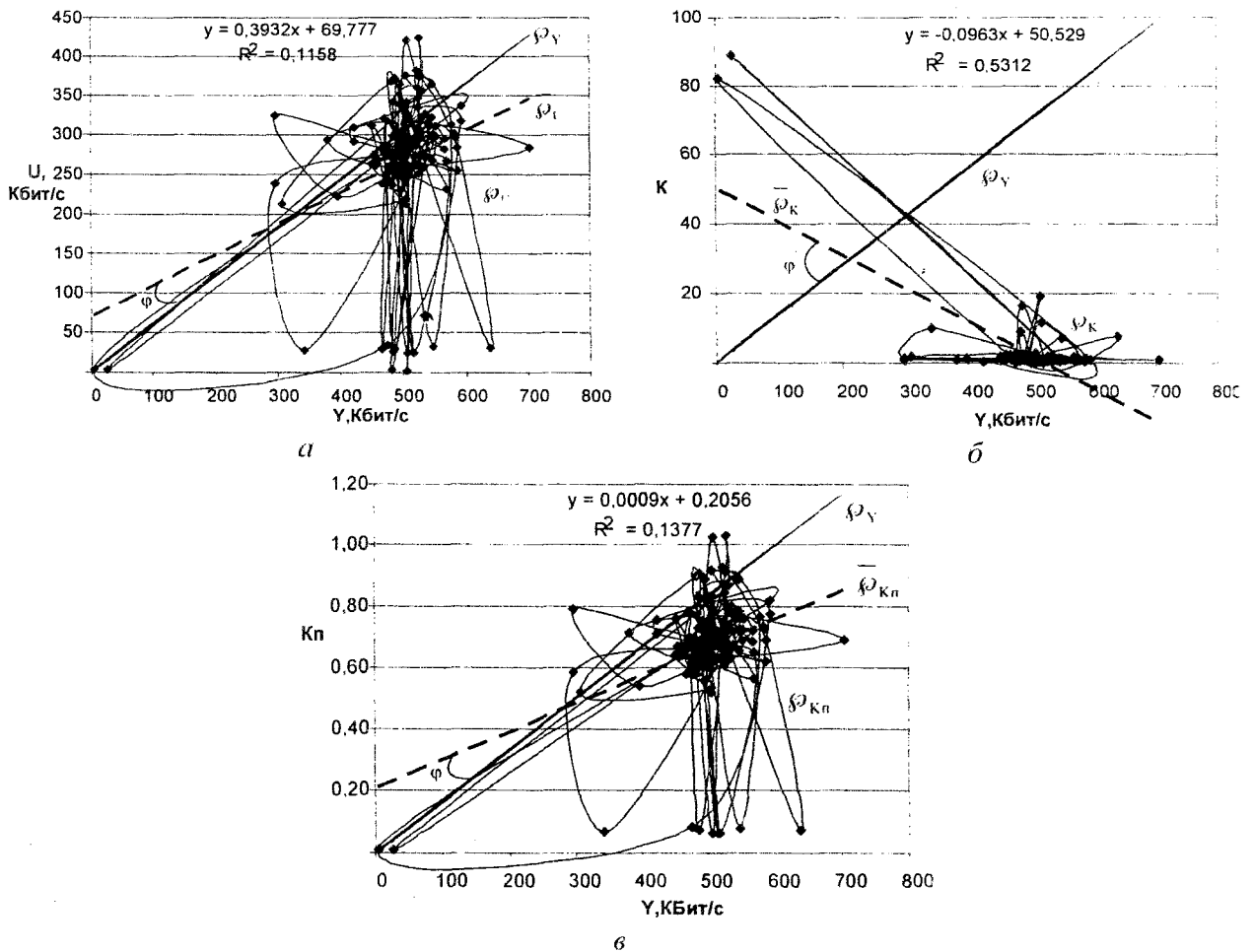


Рис. 3

Для оценки степени связности переменных  $u_i \{ k_i, kn_i \}$  и  $y$  определим характеристики:

$$\varpi_{u_i \{ k_i, kn_i \}} = \frac{a_{1,i} \{ b_{1,i}, c_{1,i} \} - 1}{1 + a_{1,i} \{ b_{1,i}, c_{1,i} \}} \quad (18)$$

$$\kappa_{\gamma_{u_i}} = \frac{\sigma_{u_i} \{ \sigma_{k_i}, \sigma_{kn_i} \}}{\sigma_{u_i(y)} \{ \sigma_{k_i(y)}, \sigma_{kn_i(y)} \}} \quad (19)$$

где  $\varpi_{u_i \{ k_i, kn_i \}} = \text{tg} \varphi$  – угол между прямыми  $\gamma_y$  и  $\gamma_{u_i} \{ \gamma_{k_i}, \gamma_{kn_i} \}$ .

Характеристика  $\varpi$  отражает влияние переменных  $u_i, k_i, kn_i$  на переменную  $y$  в (12). Величина  $\kappa_{\gamma_{u_i}}$  характеризует степень взаимосвязи переменных  $u_i, k_i, kn_i$  и  $y$ .

Пусть  $\hbar_{y,u_i}$ ,  $\hbar_{y,k_i}$ ,  $\hbar_{y,kn_i}$  – коэффициенты связности переменных  $y$  с  $u_i$ ,  $k_i$ ,  $kn_i$  соответственно:

$$\hbar_{y,u_i\{k_i, kn_i\}} = \text{sgn}(\varpi_{u_i\{k_i, kn_i\}}) \kappa_{y u_i\{k_i, kn_i\}},$$

где  $\text{sgn}(\varpi_{u_i\{k_i, kn_i\}})$  – функция направления:

$$\text{sgn}(\varpi_{u_i\{k_i, kn_i\}}) = \begin{cases} 1, \varpi > 0 \\ -1, \varpi < 0 \end{cases}.$$

Проведенные исследования [2, 3, 7] показали, что для любого  $\hbar_{y,u_i\{k_i, kn_i\}}$  справедливо

$$\hbar_{y,u_i\{k_i, kn_i\}} = g_{y,u_i\{k_i, kn_i\}}, \quad (20)$$

где  $g_{y,u_i\{k_i, kn_i\}}$  – коэффициент взаимной корреляции между  $y$  и  $u_i$ ,  $k_i$ ,  $kn_i$ .

В таблице представлены значения коэффициентов  $\hbar_{y,u_i\{k_i, kn_i\}}$ ,  $g_{y,u_i\{k_i, kn_i\}}$  и  $\varpi_{u_i\{k_i, kn_i\}}$  для случаев использования наблюдаемых структурно-информационных портретов подсистемы информационного обеспечения в условиях воздействия на нее Dos-атаки (см. рис. 3).

	$\hbar_{y,u_i\{k_i, kn_i\}}$	$g_{y,u_i\{k_i, kn_i\}}$	$\varpi_{u_i\{k_i, kn_i\}}$
$u_i$	0.319	0.319	0.972
$k_i$	0.02	0.02	0.961
$kn_i$	-0.004	-0.004	-0.659

Из результатов эксперимента, приведенных в таблице, видно, что  $g_{y,u_i}$  имеет наибольшее значение, и, следовательно, переменную  $u_i$  целесообразно использовать в качестве информативной переменной при структурной идентификации и моделировании информационной системы.

### Выводы

Таким образом, в результате проведенных исследований предложен подход к моделированию информационной системы в условиях априорной неопределенности. Такой подход позволит повысить точность структурной идентификации системы в условиях воздействия на нее различного рода помех.

Построены и исследованы расширенный фазовый и наблюдаемые структурно-информационные портреты информационной системы в условиях воздействия на нее Dos-атаки. На их примерах показано возникновение структурных изменений (характерных для подсистемы информационного обеспечения в целом).

Проведена оценка характеристик наблюдаемых структурно-информационных портретов информационной системы в условиях воздействия Dos-атаки. Выявлено, что при структурной идентификации и моделировании информационной системы в качестве информативной переменной целесообразно использовать переменную  $u_i$ .

**Список литературы:** 1. *Городецкий А.Я.* Информационные системы. Вероятностные модели и статистические решения : Учеб. пособие / А.Я.Городецкий. – СПб : Изд-во СПбГПУ, 2003. – 326 с. 2. *Карабутов Н.Н.* Адаптивная идентификация систем: Информационный синтез / Н.Н.Карабутов. – М. : КомКнига, 2006. – 384 с. 3. *Карабутов Н.Н.* Структурная идентификация систем: анализ динамических структур / Н.Н.Карабутов. – М. : МГИУ, 2008. – 160 с. 4. *Киричков В.Н.* Построение адаптивных моделей динамических объектов по данным эксперимента / В.Н. Киричков, А.Н. Сильвестров. – К. : Вища шк., 1985. – 68 с. 5. *Кузнецов А.А.* Метод структурной идентификации информационных пото-

ков в телекоммуникационных сетях на основе BDS-тестирования / А.А.Кузнецов, С.Г.Семенов, С.Н.Симоненко, Е.В.Мелешко // Наука і техніка Повітряних Сил Збройних Сил України. – 2010. Вип. 2 (4). – Х. : ХУПС. – С. 131 – 137. 6. Кузнецов Д.Ф. Численное моделирование стохастических дифференциальных уравнений и стохастических интегралов / Д.Ф. Кузнецов. – СПб. : Наука, 1999. 463 с. 7. Семенов С.Г. Структурно-функциональный анализ современных информационных систем: разработкой комплексного показателя эффективности их функционирования / С.Г. Семенов // Зб. наук. праць. Системи обробки інформації. – Х. : ХУПС, 2011. – Вип. 2(92). – С.145-150. 8. Семенов С. Сравнительные исследования методов идентификации трафика в телекоммуникационной сети для повышения оперативности передачи данных / С.Г.Семенов, Е.В.Мелешко // Прикладная радиоэлектроника. – 2010. – Т. 9, №3. – С.444-448.

*Харьковский национальный  
университет радиоэлектроники*

*Поступила в редколлегию 05.09.2011*